

## 蒸散抵抗に関する因子とその変化の予測

長 智男\*・田中 明\*・中野芳輔\*  
小谷佳人\*\*・矢野友久\*\*

## The Effects of Environmental Factors on the Estimation of Stomatal Diffusion Resistance

Tosio CHO\*, Akira TANAKA\*, Yoshisuke NAKANO\*,  
Yoshihito KODANI\*\* and Tomohisa YANO\*\*

### Summary

A physical mathematical model of water transportation in the soil-plant-atmosphere continuum have been developed recently. To predict daily actual transpiration, much more detailed studies on the behavior of stomata are needed.

To make a behavior model of stomatal resistance, concurrent measurements of irradiance, leaf water potential, air temperature, leaf temperature, net radiation, CO<sub>2</sub> concentration, humidity, wind speed and stomatal resistance were obtained in cucumbers under wet soil conditions. The same measurements were made in soybeans under dry and wet conditions. The results indicated that light is likely to have an important role on stomatal behavior under any soil water status. The relationship between stomatal resistance and light fits a hyperbolic curve as shown in Fig. 2. But the diurnal change in leaf water potential did not measurably affect stomatal resistance.

### 緒 言

作物の消費水量を予測する方法として SPAC によるシミュレーションモデルを用いる場合、水の輸送に関与する土壤・作物・気象因子の諸データを入力しなければならない。これらの中でとくに作物の生理的活動に基づく気孔開閉運動は、蒸散量を直接規

定する重要な因子であるが、これには日射量・葉面純放射量・気温・湿度・葉温・CO<sub>2</sub>濃度・葉の水ポテンシャル・風速・土壤水分・葉齧等の諸因子が多様に関連していることが知られている。この気孔調節機構の実態はいまだ十分明らかにされていないが、その動態について何らかの関数形を定めることは蒸散量の推定にあたって必須不可欠の条件である。

\* 九州大学農学部灌漑利水工学研究室

\*\* 砂丘利用研究施設水文かんがい部門

\* Laboratory of Irrigation Engineering, Faculty of Agriculture, Kyushu University

\*\* Division of Hydrology and Irrigation, Sand Dune Research Institute

筆者らは1978年10月、砂丘利用研究施設アリドロンにおいてキュウリを試体とした実験を行ない、さらに1978年から1979年にかけて九州大学貝塚圃場でワタおよび大豆を用いた実験を試み、2・3の知見を得たので報告する。

### 実験の方法

ポット(1/1000a)に栽培したキュウリ16本をアリドロン内に設置し、日射量・気温・湿度の制御下で、蒸散抵抗とそれに関する因子の測定を行なった。日射量・気温・湿度・風速・葉温・CO<sub>2</sub>濃度は當時自記録し、さらに葉面純放射量・葉の水ポテンシャル・蒸散抵抗を7時から18時にわたって1時間毎に測定した。葉の水ポテンシャルはWescor社のDewpoint microvoltmeterおよびSample chamberを使用し、蒸散抵抗はLambda社のAutoporometerを使用して測定した。観測には最上位の水平葉を選び、受光量が日射計と同一になるように注意した。キュウリの丈は約150cm、葉面積は2個体のサンプリングにより5519cm<sup>2</sup>、7293cm<sup>2</sup>を得た。ポットには観測前日に十分な灌水を行ない、土壤水分を湿潤な状

態に設定した。日蒸発散量はそれぞれ8.7mm、9.7mmを示した。またアリドロン内の測定と並行して、蒸散抵抗の日周期性の有無を検討するために、暗室内に置いたキュウリについて蒸散抵抗と葉温の測定を試みた。

以上は土壤水分が潤沢な条件における測定であったが、乾・湿両条件下で示す蒸散抵抗の動態を調べるために、ガラス室内に栽培した大豆を用いてCO<sub>2</sub>濃度を除く8因子の測定を行なった。試験葉は個体差を除くため同一の葉を用いた。また露地栽培したワタを用いて乾燥条件下で蒸散抵抗・葉の水ポテンシャルの日変化の測定を行なった。

### 結果および考察

Fig. 1は蒸散抵抗とこれに関与する8つの因子について、7時から18時までの変化を示したものである。日射量・気温・湿度は制御下に置いたが、ガラス室であるため、とくに日射量は外部の影響を受けている。8つの因子のうち、日変動の無い風速を除く7因子を説明变量に用い、蒸散抵抗を目的变量とする重回帰分析を行なった。Table 1は因子間の単

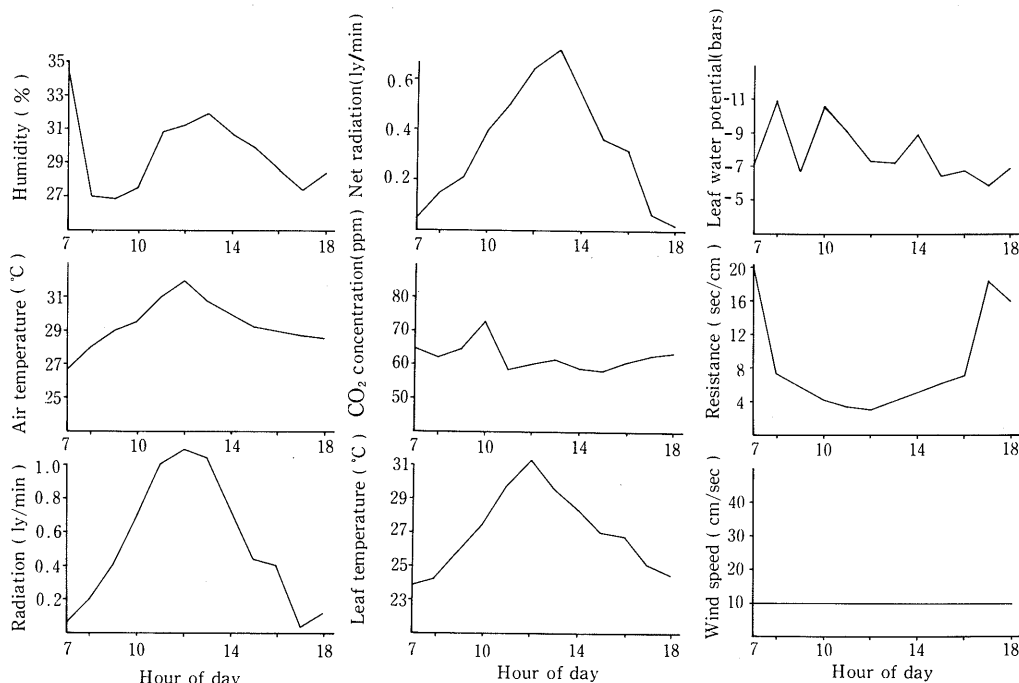


Fig. 1. Diurnal variations of factors.

Table 1. Correlation coefficients between the factors in cucumbers under wet soil conditions

		<i>H</i>	<i>Ta</i>	<i>I</i>	<i>Rn</i>	<i>C</i>	<i>Tl</i>	$\psi_l$	$r_s$
<i>H</i>	Humidity	1.00	0.06	0.26	0.29-0.13	0.25-0.04	0.15		
<i>Ta</i>	Air temperature		1.00	0.92	0.90-0.39	0.97	0.10-0.76		
<i>I</i>	Radiation			1.00	0.97-0.26	0.98	0.31-0.82		
<i>Rn</i>	Net radiation				1.00-0.34	0.95	0.26-0.84		
<i>C</i>	CO <sub>2</sub> concentration					1.00-0.31	0.33	0.28	
<i>Tl</i>	Leaf temperature						1.00	0.20-0.77	
$\psi_l$	Leaf water potencial							1.00-0.40	
$r_s$	Resistance								1.00

相関係数を示している。諸因子と蒸散抵抗の相関の強さは、葉面純放射量>日射量>葉温>気温>葉の水ポテンシャル>CO<sub>2</sub>濃度>湿度の順であった。ここで蒸散抵抗をYとし、以下湿度(*X<sub>1</sub>*)、気温(*X<sub>2</sub>*)、日射量(*X<sub>3</sub>*)、葉面純放射量(*X<sub>4</sub>*)、CO<sub>2</sub>濃度(*X<sub>5</sub>*)、葉温(*X<sub>6</sub>*)、葉の水ポテンシャル(*X<sub>7</sub>*)とするときの重回帰式は次式のとおりである。

$$\begin{aligned} Y = & -164 + 1.72X_1 + 5.82X_2 - 8.67X_3 \\ & - 1.35X_4 + 0.303X_5 - 2.07X_6 \\ & - 0.0676X_7 \end{aligned} \quad \dots \dots \dots (1)$$

このときの重相関係数は0.96と大きい値を示したが、1日の測定であるため標本数はわずか12個であり(1)式の有意性が問題となる。そこで分散分析を行なったところF値は7.002が得られた。ここで5%の危険率を許すことができるとすればF-分布表より次式となる。

$$F(7.4; 0.05) = 6.094 \quad \dots \dots \dots (2)$$

したがって(1)式の関係は有意であると言える。LAWOR and LAKE<sup>(2)</sup>は葉の水ポテンシャル、水蒸気圧差、気温、日射量等を単独あるいは組み合わせた場合の分析値より推定精度について検討を行なっているが、以上のような線形重回帰モデルを用いた蒸散抵抗の推定法は、個々の因子が有する物理的意味合いが希薄となり、また変量が多くなるほど実用性にも乏しくなる欠点をもつている。

ここで、(1)式に用いた説明変量相互の相関係数を見れば、日射量・葉面純放射量・葉温・気温は共に0.9以上での強い相関を有することがわかる。このうち、日射量はエネルギー源として他の変化をもたらす原因であることを考えれば、日射量だけを用いてもある程度蒸散抵抗の推定が可能であると思われる。Fig. 2は蒸散抵抗と日射量の関係を示したもので、人工光源下の実験であることもあって明らかな双曲線状の関係を得ることができた。こうした関係はTURNER and BEGG<sup>(3)</sup>、SHAWCROFT et. al.<sup>(4)</sup>らによっても認められており、(3)式に類似した蒸散抵抗の推定が試みられている。

$$r_s = r_{min} + \beta / \{ I + \beta / (r_c - r_{min}) \} \quad \dots \dots \dots (3)$$

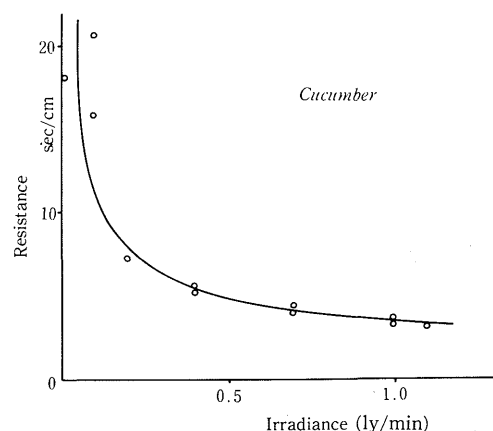


Fig. 2. Change of resistance with irradiance.

ここで,  $r_s$  は蒸散抵抗,  $r_{min}$  は最小抵抗,  $r_c$  はクチクラ抵抗,  $I$  は日射量,  $\beta$  は定数である。一般に作物群落内の日射量は(4)式のように Beer の法則に類似した減衰傾向を示すので、葉群の空間幾何学的構造の調査により適当に係数を定めさえすれば、葉面受光量の推定が可能である。

$$I(z) = I_0 \exp(-k \cdot l \cdot F_L) \quad \dots \dots \dots (4)$$

ここで、 $I(z)$  は群落内任意深さの日射到達量,  $I_0$  は群落上の日射量,  $k$  は減衰係数,  $l$  は光の通過距離,  $F_L$  は葉面積密度である。(3), (4)式を用いれば、群落全体としての作物抵抗 (crop resistance) の推定も可能となる。

Table 2 はガラス室内において土壌水分を乾燥状態 (深さ 10cm 点で土壌水分ポテンシャル -10bars) に置いた大豆の実験により因子間の単相関係数を求めたものである。諸因子と蒸散抵抗の相関の強さは葉面純放射量 > 日射量 > 葉の水ポテンシャル > 湿度 > 気温 > 葉温の順であった。また重回帰式は次式となる。

$$\begin{aligned} Y = & 121 + 3.95X_1 - 4.34X_2 - 46.7X_3 - 3.83X_4 \\ & + 0.734X_6 - 3.71X_7 \quad \dots \dots \dots (5) \end{aligned}$$

(5)式の重相関係数は 0.95 であった。このときの分散比は 6.138 が得られたが標本数・因子共に 1 つ減少するので(2)式に相当する F 値は 6.163 となり、5 % の危

険率を仮定した場合わずかの差で有意性を認めることができなかった。しかし、この乾燥状態での結果を見ても、日射量は蒸散抵抗との相関が強く、また日変化も大きいことから、変量としてすぐれており、日射量を単独に用いた蒸散抵抗の推定も可能と思われた。

次に蒸散抵抗と土壌水分との関係について検討する。Fig. 3 は湿潤 (土壌水分ポテンシャル -0.2bars) および乾燥 (土壌水分ポテンシャル -10bars) 条件における蒸散抵抗と日射量の測定値である。大豆の葉は両面気孔葉であるため合成抵抗を次式より求め、破線で示した。

$$r_s = r_f \cdot r_b / (r_f + r_b) \quad \dots \dots \dots (6)$$

ここで、 $r_f$ ,  $r_b$  はそれぞれ表面と裏面の抵抗値である。試験葉は同一の葉であるにもかかわらず湿潤条件下では乾燥条件下に比べ 1/10 に近い値まで低下している。このことは蒸散抵抗の推定に(3)式を適用するにあたり  $r_{min}$  が土壌水分と関数関係にあることを示唆している。またポテンシャル蒸発散量に対する実際の蒸発散量の比が、ある水分量まで 1.0 を保ち、それ以下の土壌水分量になると蒸発散比が直線的に低下することを考えれば、 $r_{min}$  の予測が可能であると考えられる。

以上蒸散抵抗と日射量との関連について述べてきたが、一方では葉の水ポテンシャル  $\psi$  を説明変量に用いた VAN BAVEL らの次式が高見<sup>(6)</sup>によって紹介さ

Table 2. Correlation coefficients between the factors in soybeans under dry soil conditions

		<i>H</i>	<i>Ta</i>	<i>I</i>	<i>Rn</i>	<i>Tl</i>	$\psi$	$r_s$
<i>H</i>	Humidity	1.00	0.99	0.65	0.38	0.92	0.23-0.24	
<i>Ta</i>	Air temperature		1.00	0.59	0.33	0.91	0.29-0.22	
<i>I</i>	Radiation			1.00	0.92	0.49-0.52	-0.71	
<i>Rn</i>	Net radiation				1.00	0.20-0.73	-0.78	
<i>Tl</i>	Leaf temperature					1.00	0.36-0.04	
$\psi$	Leaf water potential						1.00	0.42
$r_s$	Resistance							1.00

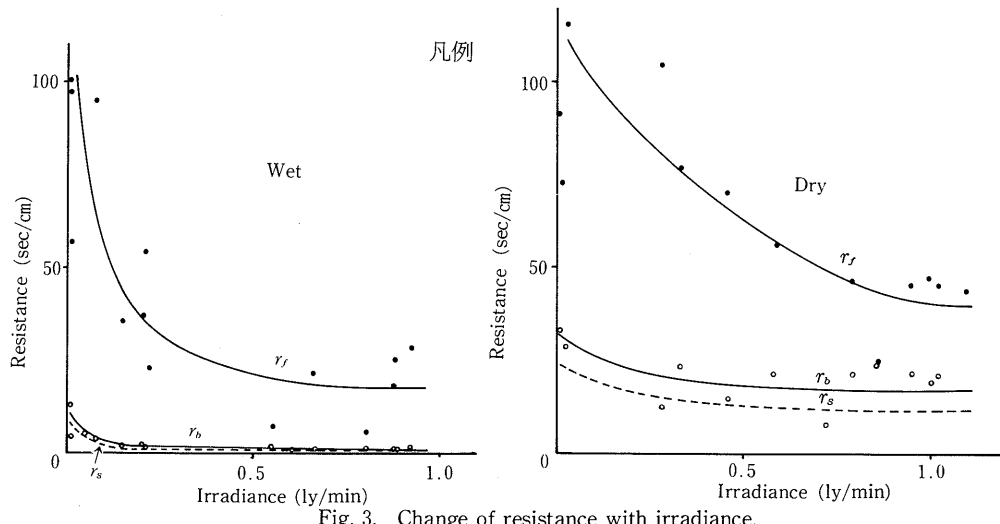


Fig. 3. Change of resistance with irradiance.

れている。

$$r_s = r_0 \exp(-a \psi_i) \quad \dots \dots \dots \quad (7)$$

ここで、 $r_0$ は気孔が最大に開いた時の抵抗で  $\psi_i = 0$  のときの値であり、 $a$  は定数である。蒸散抵抗と葉の水ポテンシャルとの間には MCCREE<sup>(3)</sup>、TURNER<sup>(9)</sup>、THOMAS et al.<sup>(7)</sup>のように(7)式の関係が得られる場合と、TURNER and BEGG<sup>(8)</sup>のようにこのような関係が見られない場合とがあり、(7)式を用いる際にはその適用範囲について検討を要する。一般に土壤水分量が多い場合には蒸散抵抗は葉の水ポテンシャルと無関係に変動するが、乾燥するにつれ(7)式のような指数関係が生じてくるようである。Fig. 4 はアリドトロンにおけるキュウリを用いた  $r_s$  と  $\psi_i$  の測定結果であるが、土壤水分ポテンシャルは -0.02bars とかなり湿潤であったため、両者の間には何等の関係を認めることができなかった。一方大豆を用いた乾燥時の葉の水ポテンシャルも、Table 2 で見られるように期待に反し相関が弱かった。ただし、この測定に用いた葉面固定型の Leaf psychrometer は、固定点において、測定後葉の変色が認められたため、得られた値が正常で無かったことも考えられる。Fig. 5 はキュウリと同様サンプル式の装置によるワタにおける  $r_s$  と  $\psi_i$  の野外観測例である。土壤水分の測定は行

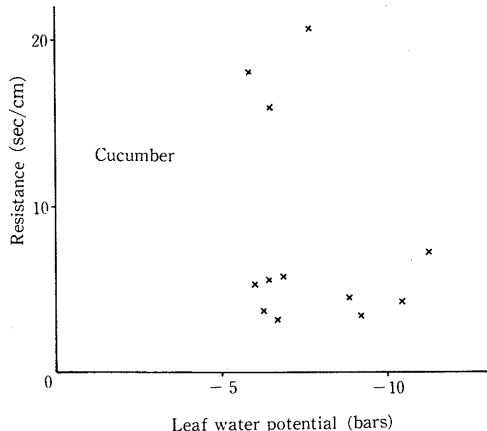


Fig. 4. Change of resistance with irradiance and leaf water potential.

なっていないが、早朝時の葉の水ポテンシャルは根群域内の土壤水分とほぼ平衡に達することから約 -8 bars と推定され、かなり乾燥状態にあったことがわかる。しかし図で見るよう、日射量の強弱によって A・B の 2 グループに分かれるため、両者を 1 つの曲線で表わすことは不可能であった。

気孔開閉運動には先に述べた諸因子の他に 24 時間周期のリズムが関与していることが古谷ら<sup>(1)</sup>によって報告されている。Fig. 6 は暗室中に置いたキュウリの蒸散抵抗の測定値であるが、午後の葉温上昇に伴って若干の低下が見られたが、これが周期性に依存

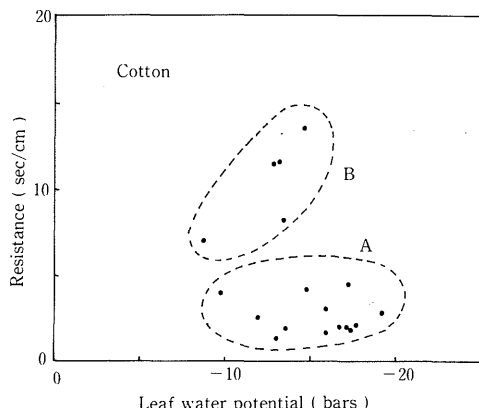


Fig. 5. Change of resistance with leaf water potential, A, B indicate high and low irradiant intensity, respectively.

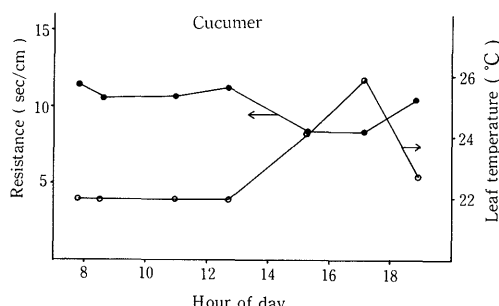


Fig. 6. Diurnal variation of leaf resistance and temperature in darkness.

するか否かは温度変動があるため確認できなかった。

### 総 括

作物群落の蒸発散量は熱収支法、空力法、ペングマン法などによって比較的容易に求めることが可能であるが、与えられた環境条件下でどの程度の値を示すかを前以って予測するためには蒸散抵抗の動態に関する植物生理学的知識を要し、きわめて難かしい問題である。気孔調節機構に関与する因子として、今回は日射量・葉面純放射量・気温・湿度・葉温・CO<sub>2</sub>濃度・葉の水ポテンシャル等を測定し、重回帰分析を行なったが、得られた線形結合式は試行毎に異なるものとなり普遍性を認めることは困難であった。しかし単相関係数をとれば、日射量および葉面純放射量は土壤水分が乾・湿両条件下にあったのに

もかかわらず大きい値を示した。WAGGONER<sup>(10)</sup>, SHAWCROFT et al.<sup>(5)</sup>がそれぞれ葉面純放射量、日射量を用いた蒸散抵抗の推定式を提案しているが、以上の結果から推して十分妥当と思われた。(3)式は日射量・土壤水分を変数とする推定式の一例であるが、これら2変数は測定が容易なこともあって実用的にはきわめて有効な式であると思われる。

葉の水ポテンシャルを変数として用いる提案もあるが、今回の実験では蒸散抵抗との間に(7)式のような指指数関係を認めるることはできなかった。

気孔の開閉は直接的には孔辺細胞とそれに隣接する副細胞の体積変化によってもたらされる。PENNING de VRIES<sup>(4)</sup>はこれらの細胞の圧力ポテンシャルの変化が日射量・CO<sub>2</sub>濃度・葉内水分状態の複合的作用によるものと考え、システム的な気孔動態モデルを考案している。これは今後の研究の方向を示唆する有意な研究ではあるが、あまりにも複雑すぎて様々な特性をもつ葉の集合体としての作物群落への適用にあたり、実用性に難点がある。この点を今回行なった実験結果と合わせ検討し、SPACによるシミュレーションモデルに逐次導入する方針である。

### 謝 辞

本研究の一部は鳥取大学農学部附属砂丘利用研究施設の共同利用施設利用による共同研究によるものである。ここに関係者の御協力に対し謝意を表する。

また、本研究を遂行するにあたり助力をいただいた九州大学大学院生、梅津正史氏（現在、福岡県）および鳥取大学大学院生、野坂治朗氏（現在、日本工営 K.K.）に謝意を表する。

### 文 献

1. 古谷雅樹、宮地重遠、玖村敦彦。1972. 物質の交換と輸送。朝倉書店：92—93。
2. LAWLOW D. W. and J. V. LAKE. 1975. Evaporation rate, leaf water potential and stomatal conductance in *Lolium*, *Trifolium* and *Lysimachia* in drying soil. *J. Appl. Ecol.* 12 : 639—646.
3. MCCREE K. J. 1974. Changes in the stomatal response characteristics of grain sorghum

- produced by water stress during growth. *Crop Science*. 14 : 273—278.
4. PENNING DE VRIES F. W. T. 1972. A model for simulating transpiration of leaves with special attention to stomatal functioning. *J. Appl. Ecol.* 9 : 57—77.
5. SHAWCROFT R. W., R. E. LEMON, L. H. ALLEN, D. W. STEWART and S. E. JENSEN. 1974. The soil - plant - atmosphere model and some of its predictions. *Agri. Met.* 14 : 287—307.
6. 高見晋一. 1977. 植物—水関係の環境的側面—SPAC の水の流れに対する数値モデル的アプローチー. 土壌物理性. 36 : 27—33.
7. THOMAS J. C. 1976. Stomatal resistance to leaf water potential as affected by preconditioning water stress in the field. *Agron. J.* 68 : 706—708.
8. TURNER N. C. and J. E. BEGG. 1973. Stomatal behavior and water status of maize, sorghum, and tobacco under field condins. *Plant Phy.* 51 : 31—36.
9. TURNER N. C. 1974. Stomatal behavior and water status of maize, sorghum, and tobacco under field conditions. *Plant Phy.* 53 : 360—365.
10. WAGGONER P. E. 1968. Simulation of the temperature, humidity and evaporation profiles. *J. Appl. Met.* 7 : 400—409.